

HEMIPTERA-HETEROPTERA DE MEXICO XXXVII: TRES NUEVAS ESPECIES Y NUEVOS REGISTROS DE LA FAMILIA PENTATOMIDAE.

*HARRY BRAILOVSKY

RESUMEN

Una nueva especie de *Disderia* recolectada en el Estado de Guerrero y dos de *Pallantia* capturadas en los Estados de Jalisco, Michoacán, Guerrero, Puebla, Estado de México, Oaxaca y Chiapas, así como en Costa Rica, son descritos; basándonos en el polimorfismo alométrico y estructural de *Mecidea minor* Ruckes, sinonimizamos a *Mecidea tasquillana* Brailovsky; *Chlorochroa* (*R.*) *faceta*, *Chlorochroa* (*R.*) *osborni* y *Mecidea major* son citados por primera vez para México; nuevos registros para *Chlorochroa* (*Ch.*) *ligata*, *Disderia decorata*, *Disderia inornata*, *Euschistus schaffneri*, *Hymenarcys reticulata*, *Mecidea minor* y *Prionosoma podopioides* así como algunas observaciones biológicas son incluidas.

Palabras clave: Taxonomía, Hemiptera, Heteroptera, Pentatomidae Nuevas Especies, Nuevos registros. México y Costa Rica.

ABSTRACT

A new species of the genus *Disderia* collected in the State of Guerrero and two new species of the genus *Pallantia* collected in Jalisco, Michoacán, Guerrero, Puebla, Estado de México, Oaxaca and Chiapas as well as in Costa Rica are described; based on the allometrical and morphological polymorphism of *Mecidea minor* Ruckes, *Mecidea tasquillana* Brailovsky was established as a synonym; *Chlorochroa* (*R.*) *faceta*, *Chlorochroa* (*R.*) *osborni* and *Mecidea major* are reported for the first time in México; new records for *Chlorochroa* (*Ch.*) *ligata*, *Disderia decorata*, *Disderia inornata*, *Euschistus schaffneri*, *Hymenarcys reticulata*, *Mecidea minor* and *Prionosoma podopioides* and some biological information are given.

Key words: Taxonomy, Hemiptera-Heteroptera, Pentatomidae, New Species, New Records, México and Costa Rica.

En los años pasados y producto del convenio de trabajo entre el Consejo Nacional de Ciencia y Tecnología (CONACyT) y el Instituto de Biología de la Universidad Nacional Autónoma de México (IBUNAM) hemos tenido oportunidad de realizar colectas intensivas en diversos puntos de la República Mexicana. Recientemente, el Norte del país está siendo sistemáticamente muestreado y los resultados son conspicuamente valiosos, ya que desde un punto de vista biogeográfico permite trazar el camino distributivo de muy diversas especies que eran solo conocidas de las planicies canadienses

* Departamento de Zoología. Instituto de Biología. UNAM. Apdo. Postal 70-153, México 04510 D.F.

y norteamericanas. El hallazgo de especies norteñas en el neártico mexicano, son la resultante lógica del desconocimiento previo de la vasta región chihuahuense, coahuilense y nevoleonesa. La región sonorana será abordada en un próximo cercano, esperando que sus relaciones faunísticas con la hemipterofauna de California y Arizona, cierren los hiatos distributivos de diversos géneros, tan frecuentes en la literatura mundial.

Sumando a ello, se describen tres nuevas especies, una perteneciente al género *Disderia* que se distribuye en diferentes provincias bióticas de la República Mexicana y las otras dos al género *Pallantia*, cuyo ámbito distribucional abarca el neotrópico. Diversos datos biológicos y posibles plantas hospederas son integrados al tratamiento específico.

Las medidas están expresadas en milímetros.

Disderia bilaminata Brailovsky sp. nov.

Holotipo macho. Coloración. Dorso. Blanquecino grisáceo amarillento con reflejos castaño, con las puntuaciones negras y algunas de ellas aereoladas de rojizo pálido; artejos antenales amarillo ocre o amarillo anaranjado y con los artejos I, II y III salpicados de manchas negro rojizas; cara interna a inferior de los ocelos amarillos y desprovistos de puntuaciones; callos pronotales amarillo castaño; escutelo de un tinte blanquecino algo más pálido que el resto del dorso; membrana hemeltral translúcida y con las venas y una mancha basal interna parduzco castaño claro; segmentos dorsales del abdomen negros y con reflejos azul violeta metálicos; conexivo amarillo y salpicado de abundantes manchas y puntuaciones negras. *Ventre.* Amarillo más pálido y con las puntuaciones negro rojizas; artejos rostrales amarillo pálido y con el ápice del IV negro; coxa y trocánteres amarillo pálido y los restantes artejos podalicos amarillo pálido y salpicados de manchas pardo rojizas; peritremo de los espiráculos abdominales negros.

Puntuaciones. Dorso densamente punteado, especialmente en el *clavus* y *corium*, pronoto y escutelo con las puntuaciones dispuestas en hileras irregulares y con una orientación generalmente transversa; ventralmente las puntuaciones son más pequeñas y menos compactas; esternitos abdominales con puntuaciones más grande en la región mesial y más pequeñas y apretadas en la región pleural.

Cabeza. Longitud total: 1.36; distancia preocular: 0.60; distancia interocelar: 0.60; anchura a través de los ojos: 2.16; *jugum* convergiendo y tocándose por enfrente del *tylus*; I artejo antenal rebasando el ápice de la cabeza; longitud de los artejos antenales: I, 0.50; II, 0.93; III, 0.96; IV, 1.39; V, 1.72; bucula evanescente y concluyendo cerca de la porción distal del I artejo rostral; rostro casi alcanzando el ápice de la mesocoxa. *Tórax. Pronoto.* Longitud total: 2.04; anchura a través de los ángulos frontales: 2.35; anchura a través de los ángulos humerales: 5.58; más ancho que largo y con los bordes enteros y lisos; borde anterior profundamente cóncavo; ángulos frontales proyectados en una aguda y corta espina, dirigida hacia afuera; bordes anterolaterales oblicuamente rectos o algo sinuados; ángulos humerales redondeados y apenas expuestos; bordes posterolaterales casi rectos; borde posterior suavemente cóncavo. *Ventre.* Proyección osteolar casi recta y extendiéndose a una distancia equivalente a 3/4 partes de la distancia del margen interno del ostiolo al margen lateral de la metapleura y con el área

evaporativa amplia; patas inermes y con las tibiae sulcadas. *Escutelo*. Longitud: 3.84; anchura máxima: 3.24 *Abdomen*. Espina basal mediana alcanzando las procoxas.

Genitalia. *Pigóforo*. Borde posterior profundamente cóncavo y con los bordes posterolaterales constituidos por dos láminas, donde la externa es delgada, engrosándose hacia adentro y uniformemente curva y la interna es más corta, aplanada y con el tercio distal angostado en un pico que reposa sobre la cara interna de la lámina externa (Figs. 1-2). Parámetros en forma de gancho (figs. 11-12).

Longitud total del cuerpo: 9.79.

Hembra. *Cabeza*. Longitud total: 1.48; distancia preocular: 0.74; distancia interocular: 0.72; anchura a través de los ojos: 2.37; longitud de los artejos antenales: I, 0.52; II, 1.08; III, 1.03; IV, 1.56; V, 1.92. *Pronoto*. Longitud total: 2.39; anchura a través de los ángulos frontales: 2.64; anchura a través de los ángulos humerales: 6.53; *Escutelo*. Longitud: 4.68; anchura máxima: 3.78.

Genitalia. Borde posterior de la I gonocoxa con trayectoria diagonal, con lo que el borde externo es más corto que el borde interno; espiráculo del VIII lateroterguito visible; margen interno de la I gonocoxa negro (fig. 22).

Longitud total del cuerpo: 11.50.

Holotipo macho. MEXICO: Guerrero: Km 66 carretera Zihuatanejo-Coyuca de Catalan, recolectado el 8 de junio de 1984 por Harry Brailovsky y Ernesto Barrera. Depositado en IBUNAM.

Paratipo macho. Un ejemplar con los mismos datos que el holotipo. Depositado en IBUNAM.

Serie de paratipos hembras. Dos ejemplares con los mismos datos que el holotipo. Depositados en IBUNAM.

Discusión

Recientemente Rolston (1983) redefinió el género *Disderia* Bergroth, describiendo una nueva especie y ofreciendo una clave para separar las tres especies conocidas, las cuales han sido citadas para México. Sorprendentemente, en la colección entomológica del IBUNAM, hallamos una nueva especie, que queda segregada de las restantes por el aspecto del pigóforo, donde los bordes posterolaterales poseen dos laminillas superpuestas, que están ausentes en las otras especies.

D. decorata (Distant) tiene las tibiae asulcadas y tanto el pronoto, el escutelo y los hemelitos están provistos de amplias manchas discoidales amarillo-crema, ausentes en *D. inornata* Ruckes, *D. parda* Rolston y *D. bilaminata* Brailovsky sp. nov. y cuyas tibiae siempre están sulcadas.

Los ángulos posterolaterales del pigóforo de *D. parda* están proyectados en un proceso digitiforme con trayectoria oblicuo-mesial y los parámetros en vista dorsal están irregularmente palmeados condiciones que no se presentan en *D. inornata* y *D. bilaminata*.

Los ángulos posterolaterales del pigóforo de *D. inornata* están conspicuamente bifurcados por una profunda insición (Figs. 9-10) y los segmentos dorsales del abdomen son de color anaranjado rojizo intenso, en tanto que en *D. bilaminata* los segmentos dorsales del abdomen son de un tinte negro y con reflejos azul-violeta metálicos y los ángulos posterolaterales del pigóforo están enteros (Figs. 1-2). Los parámetros de ambas

especies muestran un aspecto similar en forma de gancho (figs. 11-14). La I gonocoxa de *D. inornata* es cuadrangular (fig. 21) y en *D. bilaminata* el borde posterior de la I gonocoxa guarda una trayectoria oblícua con lo que el borde externo es mucho más corto que el interno (fig. 22).

Disderia decorata (Distant)

Es la especie más llamativa y de mayor distribución a través de México y Centroamérica. MEXICO: VERACRUZ: Atoyac. TABASCO: Teapa. BELICE: Blanka-neaux. GUATEMALA: La Tinta, Tamahu, Parcina y Chiacam.

Material examinado. Se revisaron dos machos y dos hembras.

MEXICO: OAXACA: Km 54 carretera Tuxtepec-Oaxaca; Sierra de Juárez (Mates). CHIAPAS: Agua Azul.

Disderia inornata Ruckes

La mayor parte del material examinado y depositado en la colección entomológica del IBUNAM ha sido capturado en bromeliáceas por Ernesto Barrera, Carlos Beutelspacher y el autor de este artículo. La diversidad y abundancia de esta especie en *Tillandsia prodigiosa* y *Tillandsia violácea* no es en apariencia una asociación casual, encontrándose machos, hembras y estadios ninfales en el interior de las hojas, donde probablemente se alimentan por la succión foliar. Es interesante destacar que esta relación planta-animal sólo se ha visto en el Estado de Morelos (Cuernavaca y Derrame del Chichinautzin) en los meses de Marzo a Junio cuando la época de secas es más vigorosa y donde las bromelias almacenan agua que es utilizada por diversas especies animales. En los meses lluviosos y en otras localidades de la República Mexicana, la recolecta de *D. inornata* se restringe a uno o dos individuos adultos capturados en la vegetación miscelánea y en ningún caso se han colectado ninfas. Podemos suponer que el ciclo de vida de esta especie y la competencia intraespecífica está ligada al papel ecológico de bromeliáceas en el medio ambiente local. Este microhabitat es también explotado por otros pentatómidos como *Edessa* spp., *Oplomus* spp., *Banasa* spp., *Brochymena* spp., etc.

MEXICO: ESTADO DE MEXICO: Temascaltepec (Tejupilco).

Material examinado. Se revisaron 35 machos y 31 hembras.

MEXICO: MICHOACAN: Ziracuareiro. GUERRERO: Km 100 carretera Coyuca de Catalan-Zihuatanejo. MORELOS: Cuernavaca, Cañón de Lobos, Derrame del Chichinautzin y Tepoztlán. ESTADO DE MEXICO: Malinalco.

Disderia parda Rolston

Esta especie recientemente descrita, fué capturada en bromelias (sin más datos). MEXICO: OAXACA: 21.8 millas al norte de Juchatengo.

CLAVE PARA LAS ESPECIES CONOCIDAS DE *Disderia* BERGROTH

- 1 Tibias asulcadas; pronoto, escutelo y hemelitros salpicados de manchas discoidales amarillo-crema ..
 *D. decorata* (Distant)

- 1' Tibias sulcadas; pronoto, escutelo y hemelित्रos sin manchas discoidales amarillo crema 2
- 2 Angulos posterolaterales del pigóforo proyectados en un proceso digitiforme con trayectoria oblicuo-mesial; parameros irregularmente palmeados. *D. parda* Rolston
- 2' Angulos posterolaterales del pigóforo no proyectados en un proceso digitiforme; parameros en forma de gancho 3
- 3 Segmentos dorsales del abdomen de color anaranjado rojizo intenso; I gonocoxa cuadrangular (fig. 21); ángulos posterolaterales del pigóforo bifurcados (figs. 9-10) *D. inornata* Ruckes
- 3' Segmentos dorsales del abdomen de color negro y con reflejos azul-violeta metálico; I gonocoxa no cuadrangular (fig. 22); ángulos posterolaterales del pigóforo enteros (figs. 1-2) *D. bilaminata* Brailovsky sp. nov.

Pallantia neomexicana Brailovsky sp. nov.

Holotipo macho. Individuos de gran talla. *Coloración. Dorso.* Entremezclando tintes amarillo ocre y amarillo parduzco con reflejos castaño y con las puntuaciones negro rojizas y entre ellas o alrededor de ellas finas ramificaciones rojizo pálidas; artejos antenales I, II y III amarillos y con manchas irregulares negro-rojizas; IV artejo con el tercio basal amarillo y el resto castaño-anaranjado; V artejo antenal con la mitad basal amarilla y el resto castaño-anaranjado; lóbulo anterior del pronoto más claro que el posterior; escutelo con una mancha transversal (cercanamente basal) negra y con el ápice amarillo crema y con finas manchas rojizo pálidas; *corium* con una banda casi mesial ligeramente más oscura que el resto del disco, casi parda y que corre desde el área radio-medial hasta casi el área anal; hacia la mitad posterior del disco corial se distingue una mancha discoidal amarillo-crema; membrana hemelित्रal translúcida y con las venas y una mancha basal interna parduzco castaño claro; segmentos dorsales del abdomen negros o pardo oscuros o pardo castaño oscuros y eventualmente con reflejos azul metálicos; conexivo amarillo-ocre, con el borde anterior y el margen posterior negros y el resto con finas manchas rojizo pálido. *Ventre.* Amarillo más pálido, con las puntuaciones negro rojizas y toda la superficie salpicada de finos filamentos o manchas irregulares de color rojizo pálido; artejos rostrales amarillo pálido y con el ápice del IV pardo; coxas y trocánteres amarillo pálido; fémures amarillo pálido y densamente salpicados de áreas discoidales negro-rojizas y eventualmente con áreas irregulares rojizo pálido; tibias amarillo pálido y con abundantes manchas arborescentes rojizo-pálido; tarsos amarillos y con los bordes distales algo parduzcos; mesopleura y metapleura con una mancha negra brillante más o menos irregular; peritremo de los espiráculos abdominales negros.

Cabeza. Longitud total: 1.56; distancia preocular: 1.11; distancia interocelar: 0.92; distancia ocelo-ojo: 0.25; anchura a través de los ojos: 3.82; ancha, con las juga del mismo tamaño que el *tylus* y nunca convergiendo por enfrente de él; puntuaciones irregularmente distribuidas, excepto en la cara interna de la *juga*, donde se dispone una hilera corta y algo regular; *tylus* con estrías transversas; distancia ocelo-ojo igual a dos veces el diámetro del ocelo; ojos semipedunculados; I artejo antenal no rebasando el ápice de la cabeza; longitud de los artejos antenales: I, 0.46; II, 1.11; III, 1.11; IV, 1.45; V, 1.55; bucula evanescente y delimita completamente al I artejo rostral; rostro casi alcanzando el ápice de la metacoxa. *Tórax. Pronoto.* Longitud total: 2.08; anchura a través de los angulos frontales: 3.08; anchura a través de los ángulos humerales: 5.45; trapezoidal, más ancho que largo y con los bordes enteros y lisos; borde anterior pro-

fundamente cóncavo; ángulos frontales proyectados en un minúsculo dentículo; bordes anterolaterales oblicuamente rectos; ángulos humerales redondeados y apenas expuestos; bordes posterolaterales algo sinuados; borde posterior casi recto; margen anterior con una serie regular de puntos y el resto del disco con puntuaciones transversales irregularmente distribuidas. *Ventre*. Carina metasternal hexagonal y con el margen posterior surcado para recibir la espina abdominal; proyección osteolar casi recta y extendiéndose a una distancia equivalente a $3/4$ partes de la distancia del margen interno del ostiolo al margen lateral de la metapleura. *Patas*. Fémures con la superficie superior proyectada distalmente en una corta espina; tibias proporcionalmente cortas y sulcadas. *Escutelo*. Longitud: 3.92; anchura máxima: 3.44. *Abdomen*. Espina basal mediana apenas alcanzando el metasterno; ángulos posteriores del conexivo proyectados en una pequeña espina de trayectoria posterior.

Genitalia. *Pigóforo*. Globoso; borde posterior ampliamente escotado, dejando una concavidad en forma de "V" muy abierta y de bordes casi oblicuamente rectos (fig. 5); cara ventral inflada (fig. 6). *Parameros*. Aplanados, con el ápice bífido, dejando un brazo largo y curvo hacia adentro y uno corto y redondeado y entre ambos una amplia concavidad (figs. 19-20).

Longitud total del cuerpo: 10.62.

Hembra. *Cabeza*. Longitud total: 1.60; distancia preocular: 1.24; distancia interocelar: 0.95; distancia ocelo-ojo: 0.27; anchura a través de los ojos: 3.97; longitud de los artejos antenales: I, 0.49; II, 1.14; III, 1.17; IV, 1.45; V, 1.51. *Pronoto*. Longitud total: 2.36; anchura a través de los ángulos frontales: 3.32; anchura a través de los ángulos humerales: 6.01. *Escutelo*. Longitud: 4.12; anchura máxima: 3.68.

Genitalia. Borde posterior de I gonocoxa nitidamente convexo; borde posterior de la II gonocoxa suavemente recta (fig. 25).

Longitud total del cuerpo: 10.50.

Habitat. Esta especie ha sido capturada en vegetación miscelanea y entre las hojas de bromeliaceas (*Achmea bracteata* y *Tillandsia kalmbacheri* Matuda).

Holotipo macho. MEXICO: ESTADO DE MEXICO: Temascaltepec, recolectado el 8 de febrero de 1979 por Harry Brailovsky. Depositado en IBUNAM.

Serie de paratipos machos. Uno de MEXICO: JALISCO: Estación de Investigación, Experimentación y Difusión Biológica de Chamela, recolectado el 15 de junio de 1976 por M. García: Depositado en IBUNAM. Uno de MEXICO: MICHOACAN: Carretera Pinolapa-Coalcoman, recolectado el 14 de julio de 1983, por Ernesto Barrera. Depositado en IBUNAM. Uno de MEXICO: MICHOACAN: San Angel Zurumcapio, recolectado el 12 de julio de 1983 por M. García. Depositado en IBUNAM. Tres de MEXICO: Estado de MEXICO: El Zapote (Acamochitlán) recolectados el 21 de noviembre de 1984 por Ernesto Barrera, Héctor Velasco y Francisco Arias. Depositados en IBUNAM. Dos de MEXICO: ESTADO DE MEXICO: km 6 carretera Temascaltepec-Tenayuca, recolectados el 21 de noviembre de 1984 por Martín Vertiz y Francisco Arias. Depositados en IBUNAM. Dos de MEXICO: OAXACA: Tehuantepec, recolectados el 22 de septiembre de 1955. Depositados en IBUNAM.

Serie de paratipos hembras. Uno de MEXICO: JALISCO: Estación de Investigación, Experimentación y Difusión Biológica de Chamela, recolectado el 16 de julio de 1977 por Harry Brailovsky. Depositado en IBUNAM. Uno de MEXICO: JALISCO: carretera 200, 19 millas al Sur de El Tuíto, recolectado el 10 de agosto de 1982 por C.W.

y L. O'Brien y G. Wibmer. Depositado en IBUNAM. Uno de México: MICHOACAN: San Angel Zurumcapiro, recolectado el 10 de julio de 1983 por M. García. Depositado en IBUNAM. Uno de MEXICO: GUERRERO: Km 8 carretera Chilpancingo-Omilteme, recolectado el 29 de enero de 1982 por E. Barrera. Depositado en IBUNAM. Uno de MEXICO: GUERRERO: km 67 carretera Taxco-Alpuyeca, recolectado el 20 de octubre de 1984 por F. Arias. Depositado en IBUNAM. Tres de MEXICO: GUERRERO: El Rincón (45 km., al noreste de Chilpancingo), recolectados el 26 de marzo de 1971 por C.R. Beutelspacher. Depositados en IBUNAM. Uno de MEXICO: ESTADO DE MEXICO: Temascaltepec, recolectado el 8 de febrero de 1979 por Harry Brailovsky. Depositado en IBUNAM. Uno de MEXICO; ESTADO DE MEXICO: km 6 carretera Temascaltepec-Tenayuca, recolectado el 21 de noviembre de 1984 por M. Vertiz. Depositado en IBUNAM. Uno de OAXACA: km. 219, carretera 175 de Puerto Angel a Oaxaca, recolectado el 19 de junio de 1984 por H. Velasco. Depositado en IBUNAM.

Discusión

Externamente recuerda a *P. macula* (Dallas), siendo ambas especies de gran talla, con una puntuación cefálica semejante y con la distancia ocelo-ojo igual a dos veces el diámetro del ocelo. *P. macula* ha sido citada para Brasil, Paraguay, Argentina y un ejemplar de México (Grazia, 1980 página 18). Esta última cita es dudosa y considero que es producto de la similitud interespecífica y donde la única forma de separarlos es en base a los genitalia de ambos sexos.

El borde posterior del pigoforo de *P. neomexicana* Brailovsky sp. nov. está ampliamente escotado, dejando una concavidad en forma de "V" muy abierta y de bordes casi oblicuamente rectos y nunca lobulados (figs. 5-6) y los parámetros muestran el ápice bífido (figs. 19-20) mientras que en *P. macula* el ápice no está bifurcado (figs. 15-16) y el borde posterior del pigoforo no está ampliamente escotado y los bordes posterolaterales están lobulados (figs. 7-8). La I gonocoxa de *P. neomexicana* tiene el borde posterior nítidamente convexo (fig. 25) y en *P. macula* es casi recto y con una emarginación muy conspicua hacia el ángulo posterior externo (fig. 24)

Pallantia minuta Brailovsky sp. nov.

Holotipo macho. Individuos pequeños. *Coloración*. *Dorso*. Entremezclado tintes amarillo ocre y amarillo parduzco con reflejos castaño y con las puntuaciones negro rojizas y entre ellas o alrededor de ellas finas ramificaciones rojizo pálidas; artejos antenales I, II y III amarillos y con manchas irregulares negro-rojizas; IV artejo con el tercio basal amarillo y el resto castaño-anaranjado; V artejo antenal con la mitad basal amarilla y el resto castaño-anaranjado oscuro; lóbulo anterior del pronoto más claro que el posterior; escutelo con una mancha transversal (cercanamente basal) negra y con el ápice amarillo crema y con finas manchas rojizo pálidas; *corium* con una banda oblicua casi mesial ligeramente más oscura que el resto del disco, casi parda y que corre desde el área radio-medial hasta casi el área anal; hacia la mitad posterior del disco corial se distingue una mancha discoidal amarillo-crema; membrana hemeltral translúcida y con las venas y una mancha basal interna parduzco castaño claro; segmentos dorsales del abdomen negros o pardo oscuros y eventualmente con reflejos azul metá-

licos; conexivo amarillo-ocre, con el borde anterior y el margen posterior negros y el resto con finas manchas rojizo pálido. *Ventre*. Amarillo más pálido, con las puntuaciones negro rojizas y toda la superficie salpicada de finos filamentos o manchas irregulares de color rojizo pálido; artejos rostrales amarillo pálido y con el ápice del IV pardo; coxas y trocánteres amarillo pálido; fémures amarillo pálido y densamente salpicados de áreas discoidales negro-rojizas y eventualmente con áreas irregulares rojizo pálido; tibias amarillo pálido y con abundantes manchas arborescentes rojizo-pálido (tibia anterior con o sin manchas negruzcas); tarsos amarillos y con los bordes distales algo parduzcos; mesopleura y metapleura con una mancha negra brillante más o menos irregular; peritremos de los espiráculos abdominales negros.

Cabeza. Longitud total: 1.48; distancia preocular: 1.02; distancia interocelar: 0.92; distancia ocelo-ojo: 0.25; anchura a través de los ojos: 3.79; ancha, con los *juga* del mismo tamaño que el *tylus* y nunca convergiendo por enfrente de él; puntuaciones irregularmente distribuidas, excepto en la cara interna de los *juga*, donde se disponen dos hileras regulares de puntos y en los márgenes del *tylus* donde se distingue una hilera; *tylus* con estrías transversas; distancia ocelo-ojo un poco menor que dos veces el diámetro del ocelo; longitud de los artejos antenales: I, 0.46; II, 1.17; III, 1.30; IV, 1.61; V, 1.86; rostro alcanzando el tercio medio de la metacoxa. *Tórax*. *Pronoto*. Longitud total: 1.92; anchura a través de los ángulos frontales: 3.04; anchura a través de los ángulos humerales: 5.14; semejante a lo descrito para *P. neomexicana*. *Escutelo*. Longitud: 3.60; anchura máxima: 3.20.

Genitalia. *Pigoforo*. Cercanamente globoso; margen posterior algo escotado, suavemente cóncavo y con los bordes enteros (fig. 3); cara ventral inflada (fig. 4). *Parámetros*. Aplanados, cortos y con el ápice bifido (figs. 17-18).

Longitud total del cuerpo: 9.30.

Hembra. *Cabeza*. Longitud total: 1.44; distancia preocular: 0.96; distancia interocelar: 0.92; distancia ocelo-ojo: 0.22; anchura a través de los ojos: 3.72; longitud de los artejos antenales: I, 0.43; II, 1.24; III, 1.20; IV, 1.42; V, 1.61. *Pronoto*. Longitud total: 1.80; anchura a través de los ángulos frontales: 2.88; anchura a través de los ángulos humerales: 5.02. *Escutelo*. Longitud: 3.32; anchura máxima: 3.04.

Genitalia. Borde posterior de la I gonocoxa suavemente convexo y con el ángulo posterior externo oblicuamente recto (fig. 27).

Longitud total del cuerpo: 9.23.

Holotipo macho. MEXICO: CHIAPAS. Boca Lacantun recolectado el 24 de mayo de 1984 por Mario García. Depositado en IBUNAM.

Serie de paratipos machos. Uno con los mismos datos que el holotipo. Depositado en IBUNAM. Dos de MEXICO: PUEBLA: km 80 carretera Tehuacán-Oaxaca, recolectados el 13 de octubre de 1979 por Harry Brailovsky. Depositados en IBUNAM. Uno de COSTA RICA: PROVINCIA GUANACASTE: Santa Rosa, recolectado el 11 de febrero de 1981 por Ernesto Barrera y Harry Brailovsky. Depositado en IBUNAM.

Serie de paratipos hembras. Uno con los mismos datos que el holotipo. Depositado en IBUNAM. Dos de MEXICO: PUEBLA: km 80 carretera Tehuacán-Oaxaca, recolectados el 13 de octubre de 1979 por Harry Brailovsky. Depositados en IBUNAM. Uno de COSTA RICA: PROVINCIA GUANACASTE: Santa Rosa, recolectado el 11 de febrero de 1981 por Ernesto Barrera y Harry Brailovsky. Depositado en IBUNAM.

Discusión

P. macunaima Grazia y *P. diffusa* (Walker) poseen el borde posterior de la I gonocoxa triangular (fig. 23) y el pigoforo cuadrangular, mientras que en *P. macula* (Dallas), *P. maculosa* Grazia, *P. neomexicana* descrito en párrafos anteriores y *P. minuta* Brailovsky sp. nov., el pigoforo es globoso y el borde posterior de la I gonocoxa recto o convexo.

P. minuta al igual que *P. maculosa* son especies pequeñas, con la distancia ocelo-ojo un poco menor que dos veces el diámetro del ocelo y con una puntuación cefálica similar. Los parámetros de *P. minuta* están conspicuamente bifurcados (figs. 17-18) y aunque el borde posterior del pigoforo es muy cercano, tiene sin embargo la cara ventral menos dilatada (figs. 3-4). La I gonocoxa y el octavo lateroterguito de ambas especies difieren ligeramente como se aprecian en las figuras 26 y 27.

NUEVOS REGISTROS DE LA FAMILIA PENTATOMIDAE EN MEXICO Y UNA NUEVA NOTA SINONIMICA.

TRIBU MECIDEINI

Mecidea major Sailer

Mecidea major Sailer, 1952. Proc. U.S. Nat. Mus. 102 (3309): 486-490.

Es una especie asociada a gramíneas y cuyo ámbito distribucional estaba restringido a los Estados Unidos de América del Norte. En México la hemos capturado en pastos (*Bouteloua curtipendula* (Micheaux Torrey) donde suele hallarse en grandes concentraciones y cuya coloración semeja al substrato de actividad.

Nuevos registros.

MEXICO: CHIHUAHUA: Km. 200 carretera Ciudad Camargo-Chihuahua. NUEVO LEON: Monterrey, Linares, Hidalgo y Km. 23 carretera Linares-San Roberto. TAMAULIPAS: Ciudad Victoria. NAYARIT: Melajan y Km. 43 carretera Tepic-Puerto Vallarta. SAN LUIS POTOSI: Ciudad Valles. ESTADO DE MEXICO: Chapingo. OAXACA: Izichatengo.

Mecidea minor Ruckes

Mecidea minor, Ruckes 1946. Bull. Brooklyn Ent. soc. 41 (3): 2-3.

Mecidea tasquillana Brailovsky, 1974. Rev. Soc. Mex. Hist. Nat. 35:159-164. NOV. SYN.

Brailovsky (1974) basó la descripción de *M. tasquillana* en una reducida serie de individuos capturados en el Estado de Hidalgo (Tasquillo). Esta pequeña población examinada conjuntamente con la falta de individuos de comparación y el desconocimiento del polimorfismo intraespecífico, motivó que las diferencias estructurales elegidas para segregarla de su especie afin *M. minor* Ruckes fueran inadecuadas. Actualmente el número de individuos de *Mecidea* spp., depositados en la colección del IBUNAM se ha incrementado dando oportunidad a reconocer las variantes alométricas y estructurales y reconsiderar mi posición inicial sinonimizado a *M. tasquillana* en favor de *M. minor*.

Este interés derivó después de un fructífero intercambio de ideas con el Dr. L. H. Rolston (University of Louisiana) el cual sugirió ciertas dudas en *M. tasquillana* que quedaron plenamente resueltas en este análisis.

M. minor que era previo a este estudio la única especie conocida para nuestro país, suele capturarse en zonas áridas o semiáridas, donde convive simpátrica y sincronicamente con *M. major* Sailer. Ambas especies habitan pastos (*Bouteloua curtipendula* (Michaux) Torrey) y otras gramíneas mimetizándose con el color de las mismas.

Distribución.

Originalmente descrito para los Estados Unidos de Norte América fué posteriormente citado para México.

MEXICO: BAJA CALIFORNIA: Canipole. SONORA. San Bernardino y Río Mayo. NUEVO LEON: 10 millas al Sur de Linares. DURANGO: Durango y Tlahualilo. HIDALGO: Tasquillo. OAXACA: Zanatepec.

Nuevos registros

MEXICO: NUEVO LEON: Monterrey, Linares, km. 23 carretera Linares San Roberto y Escobedo. TAMAULIPAS: Ciudad Victoria.

TRIBU PENTATOMINI

Chlorochroa (Rhytidilomia) faceta (Say)

Pentatoma faceta Say, 1825. J. Acad. Nat. Sci. Phila. 4:315.

De amplia distribución neártica, conociéndosele previo a este estudio sólo para Canadá y los Estados Unidos de América del Norte.

Nuevos registros.

MEXICO: ESTADO DE MEXICO: Texcoco.

Chlorochroa (Rhytidilomia) osborni (Van Duzee).

Pentatoma osborni Van Duzee, 1904. Trans. Am. Ent. Soc. 30:37.

Sólo era conocida para el Sur de los Estados Unidos de América del Norte.

Nuevos registros.

MEXICO: NUEVO LEON: Monterrey.

Chlorochroa (Chlorochroa) ligata (Say)

Pentatoma ligata Say, 1831. Heter. New Harmony: 5

Su ámbito distribucional se extiende a través del Sur de Canadá, los Estados Unidos de América del Norte y México.

En la República Mexicana lo hemos capturado en *Brickellia laciniata* Gray y en *Chilopsis linearis* (Cav.) (Sw. (Bignoniaceae) donde suelen encontrarse al mismo tiempo estadios ninfales y adultos.

MEXICO: SONORA: Agua Prieta. CHIHUAHUA: Chihuahua. COAHUILA:

Matamoros. NUEVO LEON: General Teran. DURANGO: S. Donato Guerra. AGUASCALIENTES: Pabellón. PUEBLA. MORELOS: Jalostoc.

Nuevos registros.

MEXICO: CHIHUAHUA: km. 200 carretera Ciudad Camargo-Chihuahua, El Jaguey, El Herradero, Aldama y km. 136 carretera Buenaventura-Ignacio Zaragoza. COAHUILA: Monclova. NUEVO LEON: Apodaca, Peña Nevada-Zaragoza, Noriega, Rayones, y km. 102 carretera Matehuala-La Escondida. DURANGO: km. 114 carretera Durango-Hidalgo del Parral, Cuencame, Atotonilco y Peñón Blanco. ZACATECAS: Guadalupe, Ojo Caliente y Sombrerete.

Euschistus schaffneri Rolston

Euschistus schaffneri Rolston, 1974. Entomol. Amer. 48 (1): 65-66.

Especie geofila recientemente descrita por Rolston (1974) y a la fecha endémica de México.

MEXICO: SINALOA: 20 millas al Este de Concordia. JALISCO: 3 millas al Sur de Mazamíla.

Nuevos registros.

MEXICO: ZACATECAS: Chicomostoc. DISTRITO FEDERAL: Ciudad de México (Pedregal de San Angel) y Cerro de la Estrella.

Hymenarcys reticulata Stål

Hymenarcys reticulata Stål, 1871. Enum. Hem. II: 30-31

Su ámbito distribucional es esencialmente neártico, comprende el sur de los Estados Unidos de América del Norte y México. Para la República Mexicana ha sido citado para los Estados de Chihuahua, Michoacán y Oaxaca, sin definir alguna localidad dentro de los mismos.

Nuevos registros.

MEXICO: DURANGO: Durango. HIDALGO: Presa San Carlos. DISTRITO FEDERAL: Cerro de la Estrella, Contreras, Cerro La Caldera, Tenayuca y Pedregal de San Angel. ESTADO DE MEXICO: Teotihuacán y Río Hondo. MORELOS: Cuernavaca y Tepoztlán.

Prionosoma podopoides Uhler

Prionosoma podopoides Uhler, 1863. Proc. Ent. Soc. Phila. 2: 364-365.

Previo a este estudio se le conocía del Sur de Canadá, de los Estados Unidos de América del Norte y de la Península de Baja California en México.

MEXICO: Baja California Sur, Cabo San Lucas.

Nuevos registros.

MEXICO: HIDALGO: Tasquillo y Santa Mónica Singuilucan.

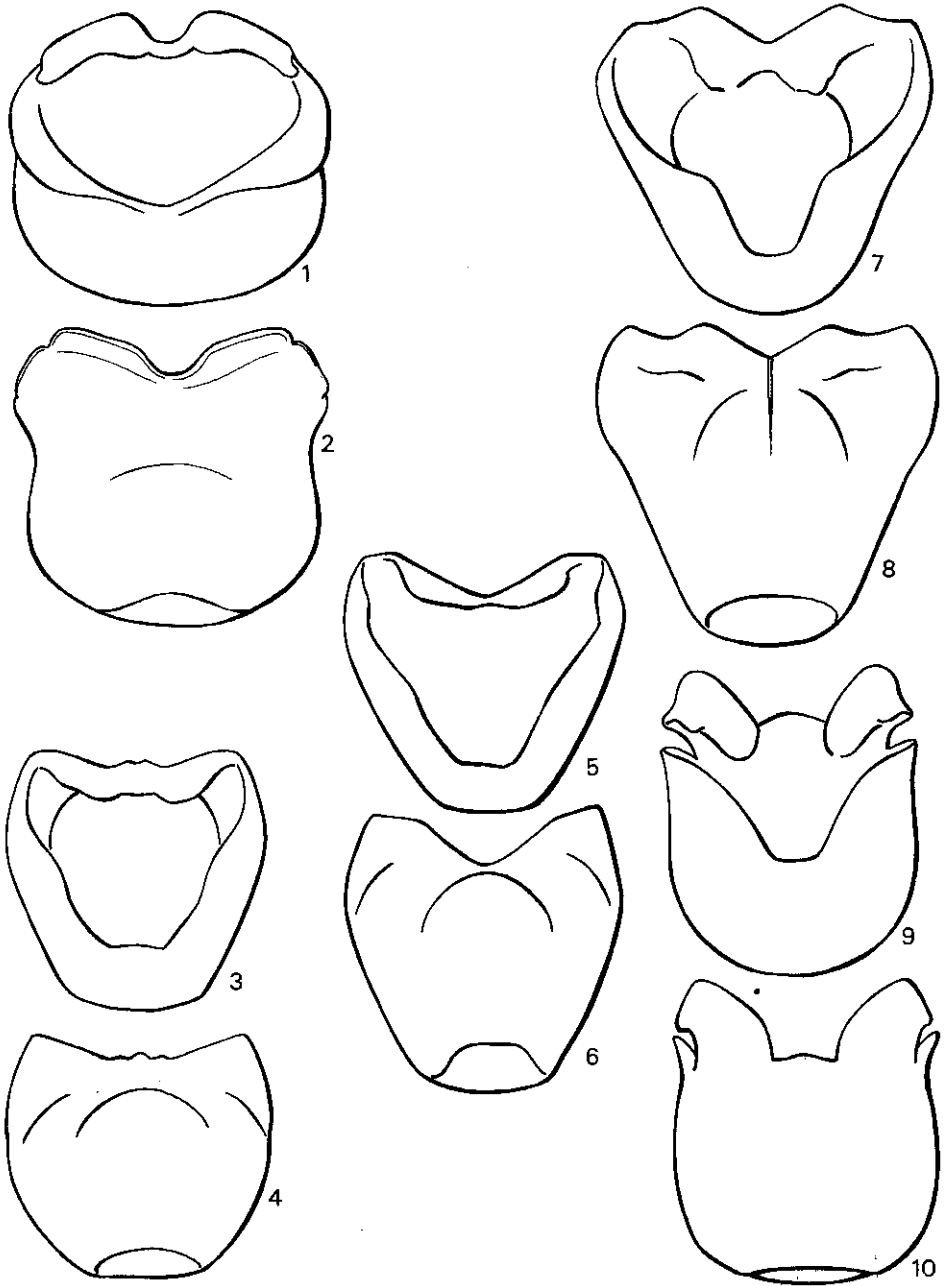
AGRADECIMIENTOS

Agradezco al Dr. L. H. Rolston (Louisiana State University and Agricultural and Mechanical College) sus interesantes comentarios y útiles sugerencias a la dibujante artística Sra. Elvia Esparza (IBUNAM) por los dibujos y al Biól. Ernesto Barrera por las fotografías que acompañan al mismo.

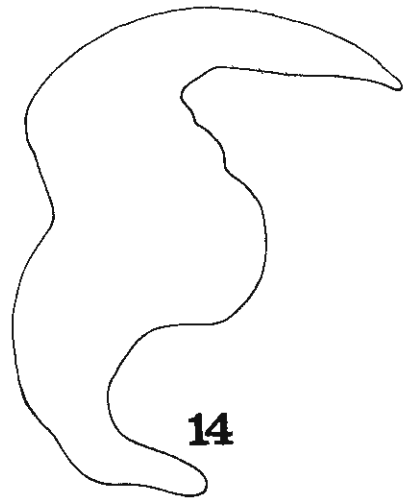
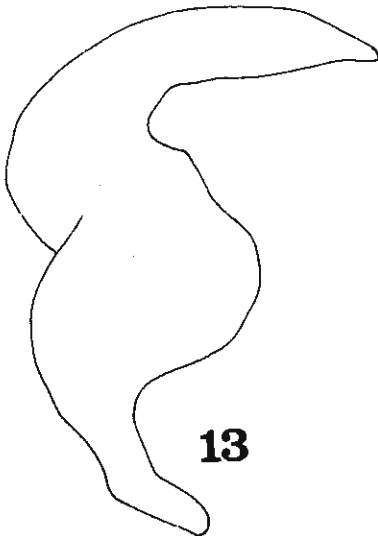
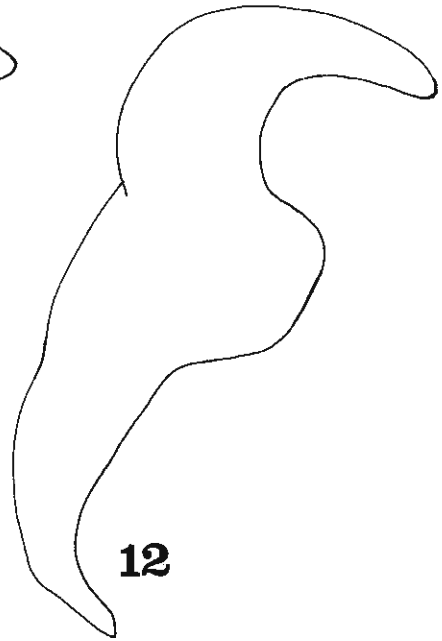
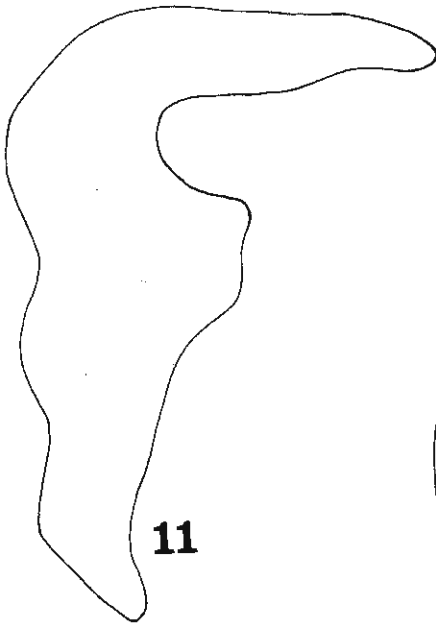
Especial agradecimiento al Consejo Nacional de Ciencia y Tecnología (CONACyT) por el apoyo financiero otorgado y orientado hacia el crecimiento de las Colecciones Científicas del IBUNAM.

LITERATURA CITADA

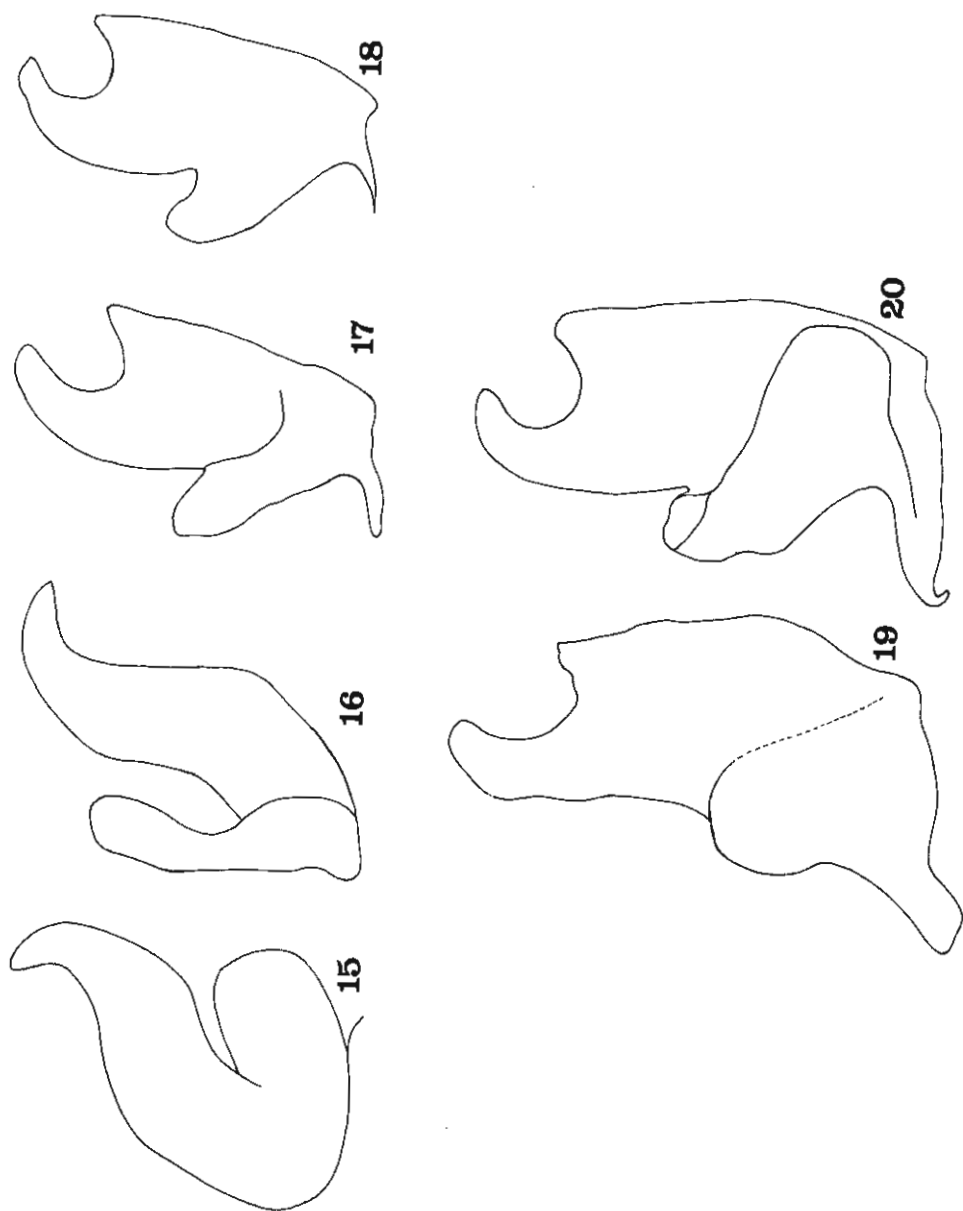
- BRAILOVSKY, H. 1974. Contribución al estudio de los Hemiptera-Heteroptera para México IV. Una nueva especie de *Mecidea* Dallas (Pentatomidae-Pentatominae: Mecideini). *Rev. Soc. Mex. Hist. Nat.* 35: 159-165.
- GRAZIA, J. 1980. Revisao do genero *Pallantia* Stål, 1862 (Heteroptera, Pentatomidae). *Rev. Brasil. Ent.* 24 (1): 15-27.
- ROLSTON, L. H. 1973. A review of *Hymenarcys* (Hemiptera: Pentatomidae). *J. New York Entomol. Soc.* 81: 111-117.
- ROLSTON, L. H. 1974. Revision of the genus *Euschistus* in middle America (Hemiptera, Pentatomidae, Pentatomini). *Entomol. Amer.* 48 (1): 1-102.
- ROLSTON, L. H., 1983. A redefinition of *Disderia* and addition of a new species (Hemiptera: Pentatomidae). *J. New York Entomol. Soc.* 91 (3): 246-251.
- RUCKES, H. 1946. *Mecidea minor*, a new species of pentatomid from New México. *Bull. Brooklyn Ent. Soc.* 41 (3): 86-88.
- SAILER, R. I. 1952. A review of the stink bugs of the genus *Mecidea*. *Proc. U. S. Nat. Mus.* 102 (3309): 471-505.
- THOMAS, D. B. Jr. 1983. Taxonomic status of the Genera *Chlorochroa* Stål, *Liodermion* Kirkaldy, and *Pitedia* Reuter and their included species (Hemiptera: Pentatomidae). *Ann. Entomol. Soc. Amer.* 76 (2): 215-224.
- UHLER, R. P. 1863. Entomological contributions. No. 2. *Proc. Ent. Soc. Phila.* 2: 361-366.



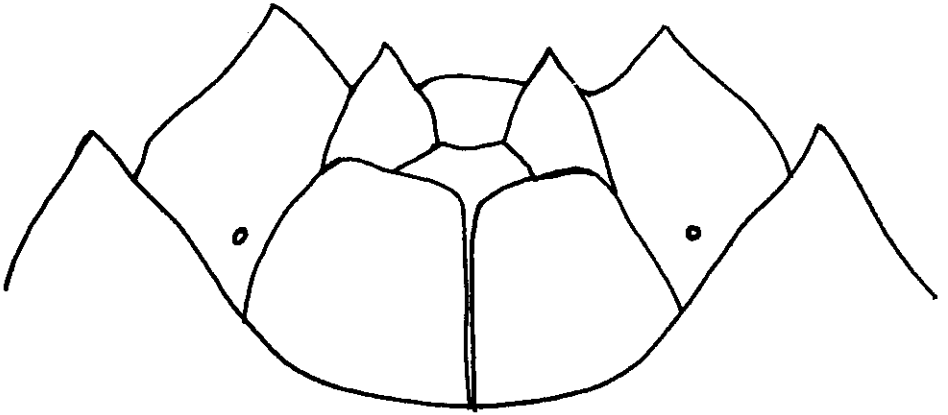
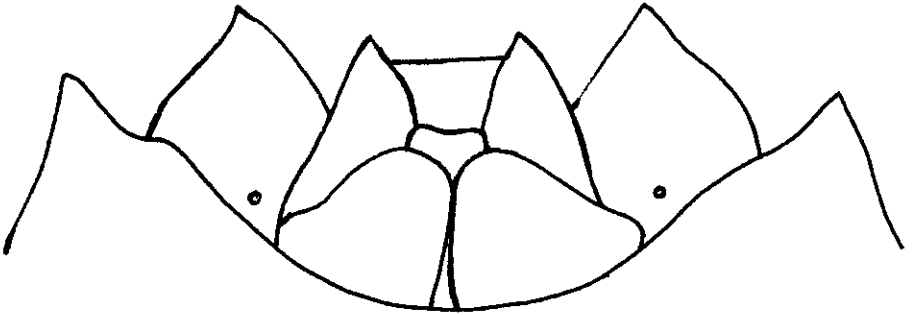
Figs. 1-2. Pigóforo de *Disderia bilaminata* Brailovsky, sp. nov. Fig. 1. Vista dorsal. Fig. 2. Vista ventral.
 Figs. 3-4. Pigóforo de *Pallantia minuta* Brailovsky, sp. nov. Fig. 3. Vista dorsal. Fig. 4. Vista ventral.
 Figs. 5-6. Pigóforo de *Pallantia neomexicana* Brailovsky, sp. nov. Fig. 5. Vista dorsal. Fig. 6. Vista ventral.
 Figs. 7-8. Pigóforo de *Pallantia macula* (Dallas). fig. 7. Vista dorsal. Fig. 8. Vista ventral.
 Figs. 9-10. Pigóforo de *Disderia inornata* Ruckes. Fig. 9. Vista dorsal. Fig. 10. Vista ventral.



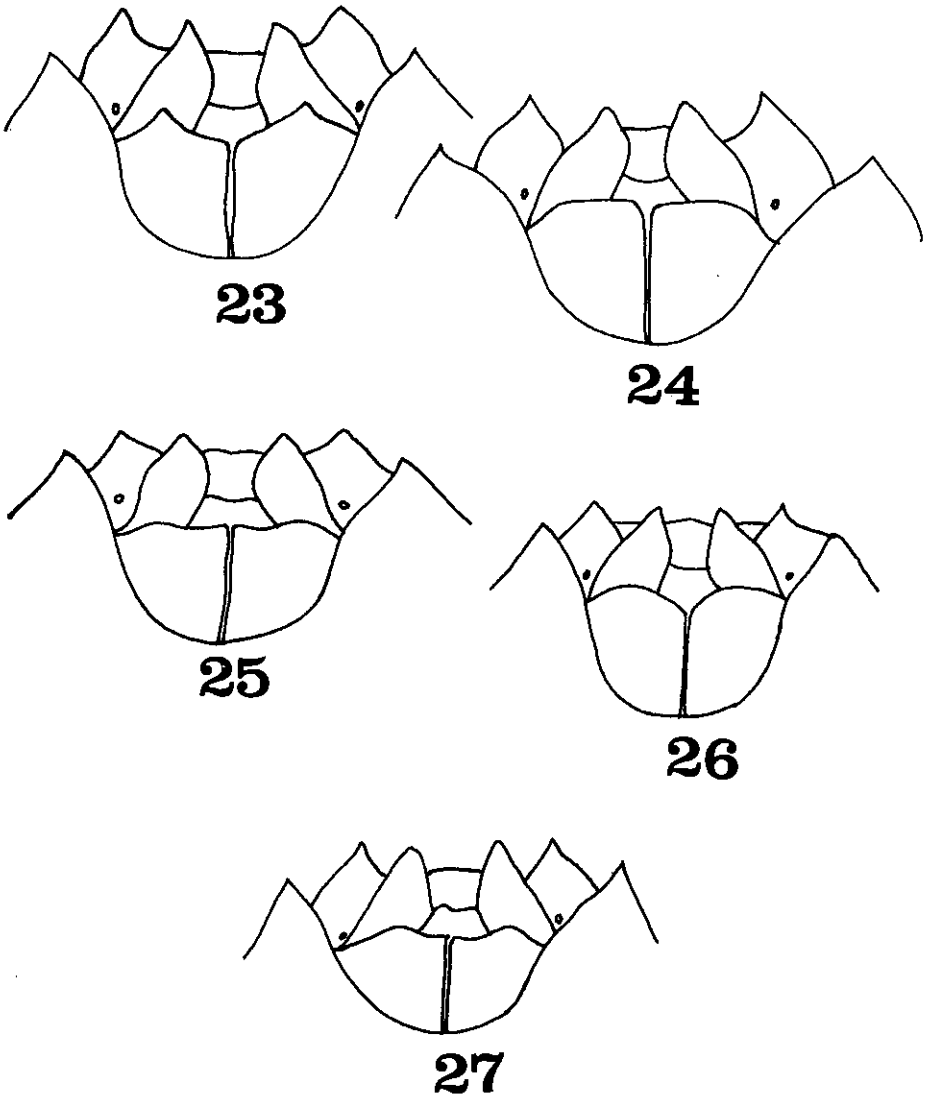
Figs. 11-14. Parámetros de *Disderia* spp. Figs. 11-12. *D. bilaminata* Brailovsky, sp. nov. Figs. 13-14. *D. inornata* Ruckes.



Figs. 15-20. Parámetros de *Pallantia* spp. Figs. 15-16. *P. macula* (Dallas). Figs. 17-18. *P. minuta* Brailovsky sp. nov. Figs. 19-20. *P. neomexicana* Brailovsky sp. nov.

**21****22**

Figs. 21-22. Placas genitales de la hembra de *Disderia* spp.
Fig. 21. *D. inornata* Ruckes. Fig. 22. *D. bilaminata* Brailovsky sp. nov.



Figs. 23-27. Placas genitales de la hembra de *Pallantia* sp.

Fig. 23. *P. mucaimata* Grazia. Fig. 24. *P. macula* (Dallas).

Fig. 25. *P. neomexicana* Brailovsky sp. nov. Fig. 26. *P. maculosa* Grazia. Fig. 27. *P. minuta* Brailovsky sp. nov.